

Math-Net.Ru

Общероссийский математический портал

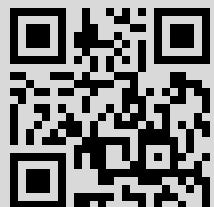
В. Ф. Камбулов, А. Ю. Колесов, Об одном модельном гиперболическом уравнении, возникающем в радиофизике, *Матем. моделирование*, 1996, том 8, номер 1, 93–102

Использование Общероссийского математического портала Math-Net.Ru подразумевает, что вы прочитали и согласны с пользовательским соглашением
<http://www.mathnet.ru/rus/agreement>

Параметры загрузки:

IP: 95.86.251.76

14 августа 2021 г., 23:10:23



ВЫЧИСЛИТЕЛЬНЫЕ МЕТОДЫ И АЛГОРИТМЫ

УДК 533.539

ОБ ОДНОМ МОДЕЛЬНОМ ГИПЕРБОЛИЧЕСКОМ УРАВНЕНИИ, ВОЗНИКАЮЩЕМ В РАДИОФИЗИКЕ

© В.Ф. Камбулов, А.Ю. Колесов

Ярославский государственный университет,
150000, Ярославль, ул. Советская, д.14.

На основе анализа конкретной прикладной задачи (математической модели RCLG-генератора) выводится модельное гиперболическое уравнение, описывающее динамические эффекты, связанные с переходом в нелинейном телеграфном уравнении от нерезонансного случая к резонансному. Дается также объяснение экспериментально наблюдаемому явлению - разрушению автоколебаний при увеличении энергии системы.

ON A CERTAIN MODEL HYPERBOLIC EQUATION ARISING IN RADIOPHYSICS

V.F. Kambulov, A.Yu. Kolesov

Yaroslavl State University, Sovetskaya street, 14, Yaroslavl, 150000

Fax: (0852) 225-232

E-mail: Matfac @ univ. uniur. ac. ru

The model hyperbolic equation, describing the dynamic effects arising through transition from nonresonance to resonance case in nonlinear telegraph equation, is derived on the base of certain applied problem (RCLG-autogenerator mathematical model) analysis. The explanation of auto-oscillation destruction, which is observed in experiments, is provided as well.

1. Постановка задачи. Автогенератор с RCLG-распределенными параметрами в цепи обратной связи и идеальным усилением описывается краевой задачей [1]:

$$\frac{\partial u}{\partial t} = -\frac{\partial J}{\partial x} - \alpha_1 u, \quad \frac{\partial J}{\partial t} = -\frac{\partial u}{\partial x} - \alpha_2 J, \quad (1)$$

$$J|_{x=1} = 0, \quad u|_{x=0} + \beta_0 u|_{x=1} + \beta_1 u^2|_{x=1} - \beta_2 u^3|_{x=1} = 0, \quad (2)$$

где u, J - нормированные переменные составляющие напряжения и силы тока в линии; $\alpha_1 = G\sqrt{L/C}$, $\alpha_2 = R\sqrt{C/L}$, а R, C, L, G - соответственно распределенные сопротивление, емкость, индуктивность и проводимость; $\beta_0, \beta_1, \beta_2$ - коэффициенты аппроксимации нелинейной характеристики усилителя полиномом третьей степени, причем $\beta_0, \beta_2 > 0$, а знак β_1 произволен.

В качестве фазового пространства (пространства начальных условий $(u(0,x), J(0,x))$) краевой задачи (1), (2) возьмем нелинейное многообразие Σ в гильбертовом пространстве $W_2^1([0,1]; R^2)$, состоящее из вектор-функций, удовлетворяющих граничным условиям (2). В работе [2] показано, что решения краевой задачи (1), (2) порождают в Σ сильно непрерывную по t группу нелинейных операторов

$$T(t, w), \quad w = (u(0, x), J(0, x)) \in \Sigma,$$

определенную при всех $t \in R$ и гладко (по Фреше) зависящую от начального условия W и параметров. А это, в свою очередь, позволяет распространить на краевую задачу (1), (2) практически без изменений основные положения качественной теории обыкновенных дифференциальных уравнений — теоремы Ляпунова и Андронова-Витта об устойчивости по первому приближению, интегральные многообразия и так далее (см. работу [2], в которой на эту краевую задачу распространена классическая бифуркационная теорема Андронова-Хопфа).

В дальнейшем будем интересоваться переодическими решениями краевой задачи (1), (2), ответвляющимися от нулевого состояния равновесия. Исследуем его на устойчивость. С этой целью отбросим в (2) нелинейность и положим

$$u(t, x) = h_1(x) \exp \lambda t, \quad J(t, x) = h_2(x) \exp \lambda t.$$

В результате для определения $h_j(x)$, $j=1,2$, получаем краевую задачу

$$h_1' + (\alpha_2 + \lambda) h_2 = 0, \quad h_2' + (\alpha_1 + \lambda) h_1 = 0,$$

$$h_2(1) = 0, \quad h_1(0) + \beta_0 h_1(1) = 0,$$

имеющую нетривиальные решения тогда и только тогда, когда λ удовлетворяет характеристическому уравнению

$$\operatorname{ch} \sqrt{(\lambda + \alpha_1)(\lambda + \alpha_2)} + \beta_0 = 0. \quad (3)$$

Анализ уравнения (3) показывает, что, во-первых, при достаточно малых значениях β_0 все его корни лежат в полуплоскости $\operatorname{Re} \lambda \leq -\delta_0 < 0$ при некотором δ_0 ; во-вторых, при увеличении параметра β_0 и прохождении его через значения $\beta_{0,0} < \beta_{0,1} < \dots < \beta_{0,n} < \dots$, где

$$\beta_{0,n} = \operatorname{ch} \left\{ (\alpha_1 + \alpha_2) \sqrt{\frac{\pi^2 (2n+1)^2 + \alpha_1 \alpha_2}{4\pi^2 (2n+1)^2 + (\alpha_1 + \alpha_2)^2}} \right\}, \quad n=0,1,\dots, \quad (4)$$

каждый раз ровно одна пара простых корней $\pm i\omega_n$,

$$\omega_2 = 2\pi(2n+1) \sqrt{\frac{\pi^2 (2n+1)^2 + \alpha_1 \alpha_2}{4\pi^2 (2n+1)^2 + (\alpha_1 + \alpha_2)^2}}, \quad n=0,1,\dots, \quad (5)$$

уравнения (3) переходит в полуплоскость $\operatorname{Re} \lambda > 0$, а при

$$\beta_0 > \beta_{0,\infty} = \operatorname{ch} \{ (\alpha_1 + \alpha_2) / 2 \} \quad (6)$$

в этой полуплоскости содержится уже счетное число корней — наступает так называемая взрывная неустойчивость. С физической точки зрения такое поведение корней характеристического уравнения вполне естественно: увеличение

энергетического параметра β_0 повышает степень неустойчивости нулевого состояния равновесия.

В дальнейшем будем считать, что параметры α_1, α_2 пропорциональны одному положительному параметру a , то есть

$$\alpha_1 = \alpha a, \alpha_2 = (1 - \alpha)a, \quad 0 < \alpha < 1, \alpha \neq 1/2 \quad (7)$$

(случай $\alpha = 1/2$, соответствующий линии без искажений, исключаем). Будем рассматривать наиболее интересную с физической точки зрения ситуацию $0 < a \ll 1$ (параметр α предполагаем фиксированным), означающую малость активного сопротивления R в линии и проводимости G . Заметим также, что из равенств (4), (7) вытекает справедливость при $a \rightarrow 0$ (равномерно по n) асимптотических формул

$$\beta_{0,n}(a) = 1 + a^2/8 + O(a^4), \quad \beta_{0,\infty}(a) = 1 + a^2/8 + O(a^4). \quad (8)$$

Равенства (8) показывают, что в (1), (2), (7) естественно положить

$$a = \varepsilon, \beta_0 = 1 + \varepsilon^2/8 + \gamma\varepsilon^3, \quad 0 < \varepsilon \ll 1, \gamma \sim 1, \gamma > 0. \quad (9)$$

Действительно, в этом случае, во-первых, в плоскости параметров (a, β_0) находимся глубоко в области неустойчивости нулевого состояния равновесия и в то же время сохраняется локальность задачи — автоколебания происходят в асимптотически малой его окрестности (при увеличении γ , как будет ясно из дальнейшего, это свойство утрачивается). Во-вторых, реализуется максимальная особенность — взрывная неустойчивость (см.(6)).

Подставляя в (1), (2) равенства (7), (9) и исключая переменную J , приходим к эквивалентной краевой задаче

$$\frac{\partial^2 u}{\partial t^2} + \varepsilon \frac{\partial u}{\partial t} + \varepsilon^2 \mathcal{A}u = \frac{\partial^2 u}{\partial x^2}, \quad \mathcal{A} = \alpha(1 - \alpha) < 1/4, \quad (10)$$

$$\left. \frac{\partial u}{\partial x} \right|_{x=1} = 0, \quad u|_{x=0} + (1 + \varepsilon^2/8 + \gamma\varepsilon^3)u|_{x=1} + \beta u^2|_{x=1} - u^3|_{x=1} = 0, \quad (11)$$

которая и является объектом дальнейшего анализа.

2. Вывод основного уравнения. Автоколебания краевой задачи (10), (11) будем строить с помощью так называемого метода квазинормальных форм [3], являющегося специальным вариантом асимптотического метода Крылова-Боголюбова-Митропольского [4]. Суть этого метода в следующем. Полагая в (10), (11) $\varepsilon = 0$ и отбрасывая нелинейность, убеждаемся, что получившаяся линейная краевая задача имеет счетное число линейно независимых периодических решений

$$\exp(\pm i\omega_n t) \cos \omega_n x, \quad \omega_n = \pi(2n+1), \quad n = 0, 1, \dots,$$

причем их собственные частоты находятся во всевозможных резонансах нечетных порядков. Поэтому подставим в (10), (11) ряды

$$u = \varepsilon^{3/2}u_0 + \varepsilon^{5/2}u_1 + \varepsilon^{3/2}u_2 + \varepsilon^{7/2}u_3 + \varepsilon^{5/2}u_4 + \varepsilon^{9/2}u_5 + \dots, \quad (12)$$

$$u_0 = \sum_{n=0}^{\infty} [z_n(\tau) \exp(i\omega_n t) + \bar{z}_n(\tau) \exp(-i\omega_n t)] \cos \omega_n x, \quad (13)$$

где $u_j = u_j(t, \tau, x)$, $j = 0, \dots, 5$, $\tau = \varepsilon^2 t$, а комплексные "амплитуды" z_n таковы, что сходится ряд с общим членом $\omega_n^2 |z_n|^2$ (в этом случае $u_j \in W_2^1$ по переменной

х). Приравнявая затем коэффициенты при одинаковых степенях ϵ , для нахождения 2-периодических по t функций u_j получаем рекуррентную последовательность линейных неоднородных краевых задач.

На первом и втором шаге приходим к краевым задачам

$$\left(\frac{\partial^2}{\partial t^2} - \frac{\partial^2}{\partial x^2}\right)u_1 = -\frac{\partial u_0}{\partial t}, \quad \frac{\partial u_1}{\partial x} \Big|_{x=1} = 0, \quad u_1|_{x=0} + u_1|_{x=1} = 0,$$

$$\left(\frac{\partial^2}{\partial t^2} - \frac{\partial^2}{\partial x^2}\right)u_2 = 0, \quad \frac{\partial u_2}{\partial x} \Big|_{x=1} = 0, \quad u_2|_{x=0} + u_2|_{x=1} + \beta u_0^2|_{x=1} = 0,$$

решения которых ищем в виде рядов той же структуры, что и неоднородности. Получаем равенства

$$u_1 = \sum_{n=0}^{\infty} z_n(\tau) \exp(i\omega_n t) B_n(x) + \bar{z}_n(\tau) \exp(-i\omega_n t) \bar{B}(x), \quad (14)$$

$$u_2 = -\frac{\beta}{2} \sum_{n,m=0}^{\infty} [z_n z_m \exp i(\omega_m + \omega_n)t + \bar{z}_n \bar{z}_m \exp(-i(\omega_m + \omega_n)t)] \cos(\omega_m + \omega_n)x + \\ + [z_n \bar{z}_m \exp i(\omega_n - \omega_m)t + \bar{z}_n z_m \exp i(\omega_m - \omega_n)t] \cos(\omega_n - \omega_m)x, \quad (15)$$

где

$$B_n(x) = \frac{i}{2}(x-1) \sin \omega_n x. \quad (16)$$

На третьем и четвертом шаге новые моменты не возникают. Поэтому здесь приведем сразу окончательный результат:

$$u_3 = \sum_{n=0}^{\infty} (z_n \dot{C}_n(x) + 2\dot{z}_n B_n(x)) \exp(i\omega_n t) + (\bar{z}_n \dot{\bar{C}}_n(x) + 2\dot{\bar{z}}_n \bar{B}_n(x)) \exp(-i\omega_n t), \quad (17)$$

где точка обозначает дифференцирование по τ , а

$$C_n(x) = 1/8(x-1)^2 \cos \omega_n x + \frac{1}{2\omega_n} [x-1/4](x-1) \sin \omega_n x. \quad (18)$$

Формулу для u_4 выписывать не будем, так как в дальнейшем она не потребует-ся. Отметим, что ее структура аналогична (15).

Пятый шаг связан с рассмотрением краевой задачи

$$\left(\frac{\partial^2}{\partial t^2} - \frac{\partial^2}{\partial x^2}\right)u_5 = -\frac{\partial u_3}{\partial t} - \frac{\partial u_0}{\partial \tau} - \alpha u_1, \quad \frac{\partial u_5}{\partial x} \Big|_{x=1} = 0,$$

$$u_5|_{x=0} + u_5|_{x=1} + 2\beta(u_0 u_2)|_{x=1} - u_0^3|_{x=1} + \gamma u_0|_{x=1} = 0.$$

Учитывая формулы (14)-(18) и равенство

$$2\beta(u_0 u_2)|_{x=1} - u_0^3|_{x=1} = (1+\beta^2) \left(\sum_{n=0}^{\infty} z_n \exp(i\omega_n t) + \bar{z}_n \exp(-i\omega_n t) \right)^3,$$

после некоторых преобразований убеждаемся, что условия разрешимости краевой задачи в классе 2-периодических функций имеют вид

$$\dot{z}_n/2 - \frac{i(\varkappa - 1/4)}{4\omega_n} z_n = f_n, \quad n=0, 1, \dots \quad (19)$$

Здесь f_n — коэффициент при $\exp(i\omega_n y)$ ряда Фурье функции $\gamma v - (1 + \beta^2)v^3$, где

$$v(\tau, y) = \sum_{n=0}^{\infty} z_n(\tau) \exp(i\omega_n y) + \bar{z}_n(\tau) \exp(-i\omega_n y). \quad (20)$$

Введем в рассмотрение гильбертово пространство E , состоящее из анти-периодических с периодом 1 функций $v(y) \in W_2^1$. Из формул (19), (20) очевидным образом вытекает, что счетная система дифференциальных уравнений (19) эквивалентна одному скалярному уравнению в E :

$$\frac{1}{2} \frac{\partial v}{\partial \tau} = -\frac{1}{4} \left(\frac{1}{4} - \varkappa \right) L v + \gamma v - (1 + \beta^2) v^3, \quad v(\tau, y+1) \equiv -v(\tau, y), \quad (21)$$

где L — ограниченный линейный оператор в E ,

$$L v = \sum_{n=0}^{\infty} \frac{i}{\omega_n} z_n \exp(i\omega_n y) - \frac{i}{\omega_n} \bar{z}_n \exp(-i\omega_n y).$$

Дифференцируя уравнения (21) по y и учитывая, что $\frac{d}{dv} L v = -v$, приходим к гиперболической краевой задаче

$$\frac{1}{2} \frac{\partial^2 v}{\partial \tau \partial y} = \frac{1}{4} \left(\frac{1}{4} - \varkappa \right) v + [\gamma - 3(1 + \beta^2)v^2] \frac{\partial v}{\partial y}, \quad v(\tau, y+1) \equiv -v(\tau, y). \quad (22)$$

Выполняя, далее, в (22) подходящие нормировки переменных τ , v и заменяя τ на t , y на x , получаем интересующую нас модельную краевую задачу

$$\frac{\partial^2 v}{\partial t \partial x} = v + \lambda(1 - v^2) \frac{\partial v}{\partial x}, \quad v(t, x+1) \equiv -v(t, x), \quad (23)$$

где $\lambda = 8\gamma / (1 - 4\varkappa) > 0$.

Краевая задача (23) является модельной в двух отношениях. Во-первых, она отражает характерные особенности динамики исходной краевой задачи (10), (11) при увеличении параметра γ . Точнее говоря, используя развитые в работах [3], [5] методы, можно показать, что каждому ее периодическому решению вида $v = w(\sigma t - x)$, $\sigma > 0$, экспоненциально устойчивому или дихотомичному, отвечает цикл краевой задачи (10), (11) той же устойчивости (с асимптотикой (12), (13)).

Во-вторых, она описывает динамические эффекты, связанные с переходом в нелинейном телеграфном уравнении от нерезонансного случая к резонансному. Для примера рассмотрим типовую краевую задачу ($0 < \varepsilon < 1$)

$$\frac{\partial^2 u}{\partial t^2} + (3u^2 - \varepsilon) \frac{\partial u}{\partial t} + \mu u = \frac{\partial^2 u}{\partial x^2}, \quad u|_{x=0} = \frac{\partial u}{\partial x} \Big|_{x=1} = 0, \quad (24)$$

и заметим, что ее собственные частоты $\omega_n = \sqrt{\mu + \pi^2(n+1)^2/4}$, $n=0, 1, \dots$ при $\mu=0$ находятся во всевозможных резонансных соотношениях нечетных порядков, а при $\mu \neq 0$ происходит "отход" от них. Подставим, далее, в краевую задачу (24) $\mu = \varkappa \varepsilon$, $\varkappa \sim 1$, и применим к ней описанный выше метод квазинормальных форм. С этой целью положим в (24)

$$u = \sqrt{\varepsilon} u_0(t, \tau, x) + \varepsilon^{3/2} u_1(t, \tau, x) + \dots, \quad \tau = \varepsilon t,$$

$$u_0 = \sum_{n=0}^{\infty} (z_n(\tau) \exp(i\omega_n t) + \bar{z}_n(\tau) \exp(-i\omega_n t)) \sin \omega_n x,$$

где $\omega_n = \pi/2 \cdot (2n+1)$, и приравняем коэффициенты при $\varepsilon^{3/2}$. В итоге из условий разрешимости в классе 4-периодических по t функций краевой задачи для u_1 выводим аналогичную (19) счетную систему обыкновенных дифференциальных уравнений, которая "сворачивается" в скалярное уравнение

$$2 \frac{\partial^2 v}{\partial \tau \partial y} = -\alpha v + [1 - 3M(v^2) - 3v^2] \frac{\partial v}{\partial y}, \quad v(t, y+2) \equiv -v(\tau, y) \quad (25)$$

Здесь $M(*)$ – среднее значение по y ,

$$v = \sum_{n=0}^{\infty} v_n \exp(i\omega_n y) + \bar{v}_n \exp(-i\omega_n y), \quad v = -iz_n/2.$$

Остается заметить, что краевые задачи (23) и (25) имеют не только схожую структуру, но и идентичные динамические свойства (при увеличении λ и уменьшении $|\alpha|$ соответственно).

3. Динамические свойства модельной краевой задачи. Из сказанного в предыдущем пункте следует, что основной интерес представляют периодические решения краевой задачи (23) типа бегущих волн, то есть

$$v = w(y), \quad y = \sigma t - x, \quad \sigma > 0. \quad (26)$$

Ниже изучим их динамику при увеличении параметра λ . Начнем со случая

$$\lambda = \varepsilon, \quad 0 < \varepsilon \ll 1. \quad (27)$$

Подставляя в краевую задачу (23) формулу (26), приходим к уравнению

$$\sigma w'' + \lambda(w^2 - 1)w' + w = 0. \quad (28)$$

Заметим, что (28) – это известное уравнение Ван-дер-Поля, которое при всех $\lambda > 0$ имеет единственное периодическое решение [6] $w = w_0(y, \sigma, \lambda)$ с периодом $T_0 = T_0(\sigma, \lambda)$ (антипериодическое с периодом $T_0/2$), где достаточно гладкие по совокупности переменных функции w_0, T_0 таковы, что

$$w_0(y, \sigma, 0) = \exp(iy\sqrt{\sigma}) + \exp(-iy\sqrt{\sigma}), \quad T_0(\sigma, 0) = 2\pi\sqrt{\sigma},$$

$$\frac{\partial T_0}{\partial \lambda}(\sigma, 0) = 0. \quad (29)$$

Формулы (29) показывают, что при условии (27) уравнение

$$T_0(\sigma, \lambda) = 2 \quad (30)$$

имеет единственное решение $\sigma = \sigma_0(\varepsilon)$, $\sigma_0(0) = 1/\pi^2$, $\sigma'_0(0) = 0$. Подставляя его в $w_0(y, \sigma, \lambda)$, получаем периодическое решение

$$w = w_0(y, \varepsilon), \quad y = \sigma_0(\varepsilon)t - x, \quad (31)$$

вида (26) краевой задачи (23). Отметим также, что наряду с (31) у краевой задачи (23) при условии (27) существуют и другие периодические решения, получающиеся из построенного выше с помощью принципа подобия:

$$w = w_n(y, \varepsilon), \quad y = \sigma_n(\varepsilon)t - x, \quad n = 0, 1, \dots, \quad (32)$$

где

$$w_n = w_0((2n+1)y, (2n+1)\varepsilon), \quad \sigma_n(\varepsilon) = \sigma_0((2n+1)\varepsilon)/(2n+1)^2. \quad (33)$$

Суммируем все сказанное в виде следующего утверждения.

Теорема 1. Для любого натурального N можно указать такое $\varepsilon_N > 0$, что при всех $0 < \varepsilon \leq \varepsilon_N$ краевая задача (23), (27) имеет периодические решения (32) с номерами $n = 0, 1, \dots, N$.

Для исследования свойств устойчивости периодического решения (32) с фиксированным номером n обратим оператор $\frac{\partial}{\partial x}$, стоящий перед производной по времени в уравнении (23), затем линеаризуем это уравнение на цикле (32), перейдем к новой пространственной переменной $y = \sigma_n(\varepsilon)t - x$ и отбросим слагаемые порядка малости ε^2 и выше. В итоге получаем линейную краевую задачу в E :

$$\frac{\partial h}{\partial t} = -\frac{1}{w_n^2} \frac{\partial h}{\partial y} + Lh + \varepsilon(1 - w_0^2(y))h, \quad h(t, y+1) \equiv -h(t, y), \quad (34)$$

где, напомним, $w_n = \pi(2n+1)$, оператор L тот же, что и в (21),

$$w_0(y) = \exp(i\omega_n y) + \exp(-i\omega_n y).$$

Анализ свойств устойчивости краевой задачи (34) базируется на алгоритме из [7], суть которого в следующем. Положим в (34) при $m \neq n$

$$h = [\exp i(\omega_m y + \Delta_m t) + \varepsilon h_m(t, y)] \exp(\varepsilon \lambda_m t), \quad (35)$$

где

$$\Delta_m = 1/\omega_m - \omega_m/\omega_n^2. \quad (36)$$

Приравнивая коэффициенты при ε , для нахождения h_m получаем краевую задачу

$$\begin{aligned} \frac{\partial h_m}{\partial t} + \lambda_m \exp i(\omega_m y + \Delta_m t) &= -\frac{1}{\omega_n^2} \frac{\partial h_m}{\partial y} + Lh_m + (1 - w_0^2(y)) \exp i(\omega_m y + \Delta_m t), \\ h_m(t, y+1) &\equiv -h_m(t, y). \end{aligned} \quad (37)$$

Из условия ее разрешимости в классе тригонометрических многочленов определяем $\lambda_m = -1$, а затем

$$\begin{aligned} h_m &= a_m \exp[i(\omega_m + 2\omega_n)y + i\Delta_m t] + b_m \exp[i(\omega_m - 2\omega_n)y + i\Delta_m t], \\ a_m &= i/[2/\omega_n + 2\omega_n/(\omega_m(\omega_m + 2\omega_n))], \\ b_m &= -i/[2/\omega_n + 2\omega_n/(\omega_m(\omega_m - 2\omega_n))]. \end{aligned} \quad (38)$$

При $m = n$ описанный алгоритм расчета характеристических показателей уравнения (34) приходится несколько видоизменить. Связано это с тем, что при $m = n$ обращается в нуль знаменатель у коэффициента b_m . Поэтому в данном случае положим в (34)

$$\begin{aligned} h &= [V_0(y) + \varepsilon V_1(y)] \exp \Lambda t, \quad \Lambda = \begin{pmatrix} \lambda_1 & \lambda_2 \\ \bar{\lambda}_2 & \bar{\lambda}_1 \end{pmatrix}, \\ V_0 &= [\exp(i\omega_n y), \exp(-i\omega_n y)], \quad V_1 = [h_n(y), \bar{h}_n(y)]. \end{aligned} \quad (39)$$

Действуя далее описанным выше способом, приходим к равенствам

$$\lambda_1 = \lambda_2 = -1, \quad h_n(y) = \frac{3i}{8} \omega_n \exp(3i\omega_n y). \quad (40)$$

Для обоснования изложенного алгоритма выполним в краевой задаче (34) замену

$$h = \sum_{m=0}^{\infty} [\exp i(\omega_m y + \Delta_m t) + \varepsilon h_m(t, y)] \xi_m + [\exp(-i(\omega_m y + \Delta_m t)) + \varepsilon \bar{h}_m(t, y)] \bar{\xi},$$

$$\xi = (\xi_0, \bar{\xi}_0, \xi_1, \bar{\xi}_1, \dots) \in \ell_2, \quad (41)$$

где функции h_m задаются формулами (38), (40). Обратим внимание, что знаменатели в (38) при всех $m \neq n$ отличны от нуля, а при $m \rightarrow \infty$ стремятся к ненулевым пределам. Поэтому равенство (41) индуцирует ограниченный обратимый оператор, действующий из ℓ_2 в E . А отсюда и из способа построения замены (41) вытекает, что ее результат — система с ограниченным оператором в ℓ_2 , которая с точностью до слагаемых порядка ε^2 имеет вид

$$\dot{\xi} = \varepsilon \Lambda_0 \xi, \quad \Lambda_0 = \text{diag}\{-1, -1, \dots, \Lambda, -1, \dots\}. \quad (42)$$

Свойства устойчивости системы (42) очевидны: имеется один нулевой характеристический показатель (напомним, что (34) — система в вариациях на цикле), а все остальные равны $-\varepsilon$ и -2ε . Таким образом, приходим к следующему утверждению.

Теорема 2. *Все циклы, о которых говорится в теореме 1, экспоненциально орбитально устойчивы.*

Для того, чтобы проследить за эволюцией периодического решения (31) при увеличении параметра λ , сделаем в уравнении (28) замену $y/\sqrt{\sigma} \rightarrow y$. В результате вместо (30) получаем эквивалентное равенство

$$\varphi(\Theta) = 2/\lambda, \quad \varphi(\Theta) = T(\Theta)/(\Theta) \quad (43)$$

для определения параметра $\Theta = \lambda/\sqrt{\sigma}$. Здесь $T(\Theta)$ — период цикла уравнения

$$w'' + \Theta(w^2 - 1)w' + w = 0. \quad (44)$$

Отметим некоторые свойства функции $\varphi(\Theta)$. Во-первых, из результатов работ [4], [8] вытекает, что

$$\varphi(\Theta) \sim 2\pi/\Theta, \quad \Theta \rightarrow +0; \quad \varphi(\Theta) \rightarrow 3 - 2\ln 2, \quad \Theta \rightarrow \quad (45)$$

(при $\Theta \ll 1$ цикл уравнения (44) близок к гармоническому, а при $\Theta \gg 1$ является релаксационным). Во-вторых, синтез численного и аналитического исследований приводит к неравенству

$$\varphi'(\Theta) = [\Theta T'(\Theta) - T(\Theta)]/\Theta^2 < 0, \quad \Theta > 0 \quad (46)$$

(при $\Theta \ll 1$ и $\Theta \gg 1$ оно вытекает из приведенных в [4], [8] асимптотических формул для $T(\Theta)$).

Из указанных свойств $\varphi(\Theta)$ следует, что при

$$0 < \lambda < \lambda_0, \quad \lambda_0 = 2/(3 - 2\ln 2) \quad (47)$$

уравнение (43) имеет единственный простой корень $\Theta_0 = \Theta_0(\lambda)$, причем

$$\Theta_0(\lambda) \rightarrow \infty, \quad \lambda \rightarrow \lambda_0 - 0. \quad (48)$$

А отсюда, в свою очередь, заключаем, что периодическое решение (31) непре-

рывно продолжается по λ на интервал (47). Рассмотрим, далее, циклы (32), получающиеся из него с помощью принципа подобия (33). Из способа их построения вытекает, что каждый из них существует в "ячейке"

$$0 < \lambda < \lambda_n, \quad \lambda_n = \lambda_0 / (2n+1), \quad n=0,1,\dots \quad (49)$$

Итак, при увеличении λ модельная краевая задача (23) имеет следующую динамику. В условиях теоремы 1 наблюдается явление буферности: существует асимптотически много циклов (32) с номерами

$$0 \leq n < (\lambda_0/\varepsilon - 1)/2, \quad (50)$$

причем можно гарантировать устойчивость любого фиксированного их числа. Далее, каждый цикл (32) с фиксированным номером n , близкий к гармоническому при $\lambda \ll 1$, при увеличении λ приобретает сложную форму, при $0 < \lambda_n - \lambda \ll 1$ становится релаксационным (в этом случае стремится к нулю множитель σ , стоящий перед второй производной в (28), при $\lambda = \lambda_n$ — разрывным и исчезает при $\lambda > \lambda_n$. И наконец, при $\lambda > \lambda_0$ не остается ни одного из них.

4. Заключительные замечания. Интерпретируя полученные в п.3 результаты в терминах исходной краевой задачи (10), (11) (напомним, что периодическим решениям (26) отвечают циклы задачи (10), (11) той же устойчивости), получаем объяснение наблюдаемому при эксперименте явлению разрушения автоколебаний: при увеличении энергии системы синусоидальные колебания постепенно усложняются (становится заметным вклад высших гармоник), затем приобретает П-образную форму и исчезают. Отметим еще, что необходимыми условиями наступления этого явления служат, по всей видимости, три обстоятельства: наличие достаточного количества энергии в системе, близость собственных частот к резонансным и взрывная неустойчивость. Действительно, в нашем случае все три условия выполняются. Кроме того, именно близость частот (5) к резонансным позволяет "свернуть" квазинормальную форму — счетную систему (19) в краевую задачу (21). Ясна также и роль взрывной неустойчивости — она обеспечивает рост амплитуд высших гармоник при увеличении энергии у каждого отдельно взятого цикла, что приводит в конечном итоге к усложнению его формы и разрушению.

Вопрос об аттракторах краевой задачи (10), (11) при

$$\gamma > \gamma_0, \quad \gamma_0 = \lambda_0(1 - 4\alpha)/8, \quad (51)$$

то есть когда умирают все периодические решения, доставляемые методом квазинормальных форм, остается открытым. Наиболее вероятным в связи со сказанным выше здесь представляется следующее: все решения $u(t, x) \neq 0$ с начальными условиями из достаточно малой окрестности нулевого состояния равновесия, оставаясь ограниченными в C -норме, при $t \rightarrow \infty$ стремится к разрывным функциям. Возвращаясь к реальному объекту — автогенератору, заключаем, что в этой ситуации он не генерирует каких-либо устойчивых непрерывных автоколебаний.

СПИСОК ЛИТЕРАТУРЫ

1. В.Ф. Камбулов. Расчет автоколебаний в RCLG-генераторах с распределенными параметрами в цепи обратной связи // Исследования по устойчивости и теории колебаний. — Ярославль: 1976, с. 86-89.
2. А.Н. Куликов. Исследование одной краевой задачи, возникающей в радиофизике // Исследование по устойчивости и теории колебаний. — Ярославль: 1976, с. 67-85.
3. Ю.С. Колесов. Бифуркация инвариантных торов параболических систем с малой диффузией // Матем. сборник, 1993, т. 184, № 3, с. 121-136.
4. Н.Н. Боголюбов, Ю.А. Митропольский. Асимптотические методы в теории нелинейных колебаний. — М.: Наука, 1974, 504 с.
5. А.Ю. Колесов. Устойчивость автоколебаний телеграфного уравнения, бифурцирующих из состояния равновесия // Матем. заметки, 1992, т. 51, вып. 2, с. 59-65.
6. Р. Рейссинг, Г. Сансоне, Р. Конти. Качественная теория нелинейных дифференциальных уравнений. — М.: Наука, 1974, 320 с.
7. Ю.С. Колесов, В.В. Майорова. Новый метод исследования устойчивости решений линейных дифференциальных уравнений с близкими к постоянным почти периодическими коэффициентами // Дифференц. уравнения, 1974, т. 10, с. 1778-1788.
8. Е.Ф. Мищенко, Н.Х. Розов. Дифференциальные уравнения с малым параметром и релаксационные колебания. — М.: Наука, 1975, 248 с.

Поступила в редакцию
09.02.95.